



سنجش از دور

GIS ایران



سال نهم، شماره اول، بهار ۱۳۹۶  
Vol.9, No. 1, Spring 2017

سنجش از دور و GIS ایران  
Iranian Remote Sensing & GIS

۳۷-۴۸

## تعیین مناطق بالقوه صید ماهی در خلیج فارس، با استفاده از سنجش از دور و سیستم اطلاعات جغرافیایی

زهره فضیلت پور<sup>۱\*</sup>، کاظم رنگن<sup>۲</sup>، غلامرضا اسکندری<sup>۳</sup>، عظیم صابری<sup>۴</sup>

۱. کارشناس ارشد سنجش از دور و GIS، دانشگاه شهید چمران اهواز

۲. دانشیار، گروه سنجش از دور و GIS، دانشگاه شهید چمران اهواز

۳. استادیار، پژوهشکده آبری پروری جنوب کشور

۴. مریبی، گروه سنجش از دور و GIS، دانشگاه شهید چمران اهواز

تاریخ پذیرش مقاله: ۱۳۹۶/۲/۱۶

تاریخ دریافت مقاله: ۱۳۹۵/۶/۲۵

### چکیده

محیط دریا فرصت های مهمی را برای پیشرفت در زمینه شیلات و بهره برداری منابع طبیعی فراهم می کند. ماهیگیری منبعی برای تهیه مواد غذایی است و منبعی مهم برای درآمد در ایران شمرده می شود. با توجه به نیاز بسیار برای شناسایی میزان توزیع منابع ماهی، اطلاعات به دست آمده از ماهواره ها نقش مهمی در برنامه های کاربردی شیلات ایفا می کنند. داده های سنجش از دور مربوط به رنگ اقیانوس می توانند در کاربردهای بسیاری همچون ماهیگیری تجاری، حمل و نقل دریایی و استخراج معدن در اقیانوس استفاده شوند. با توجه به اینکه تصاویر ماهواره ای پوشش مکانی گسترده و تکرار بالایی فراهم می کنند، در پیش بینی مکان های بالقوه ماهیگیری می توانند بسیار یاریگر باشند. توان تفکیک طیفی بالای سنجنده مودیس (MODIS) و دارابون باندهای حرارتی متعدد آن را به نسبت دیگر سنجنده ها در موقعیت ممتازی قرار می دهد. اعتبار سنجی تصاویر دمای سطح دریا مربوط به سنجنده مودیس با داده های برداشت شده در ایستگاه های زمینی با ضریب همبستگی ۰/۸۴ انجام شد. در این تحقیق پس از تهیه لایه های دمای سطح آب، ارتفاع سطح آب، غلظت کلروفیل-a و شبی حرارتی سطح آب، نقشه مکان های مستعد صید ماهی در خلیج فارس تهیه شد. روش های فازی نمایشی قوی از اجزای مهم تصمیم گیری مکانی و همچنین، نمایش مقاومت مبهم و غیر دقیق را فراهم می کنند. وزن دهی لایه ها به روش FAHP صورت گرفت و بیشترین وزن به داده دمای سطح دریا، در جایگاه پارامتر مؤثر در این تصمیم گیری داده شد. پس از روی هم گذاری لایه ها، نتایج ارزیابی دقت نقشه های نهایی نشان می دهد که ۰/۸۲ از میزان صید انجام شده در دریا در مکان هایی صورت گرفته است که بهترین مناطق در نقشه های مناطق مستعد صید شمرده می شوند. با صید هدفمند می توان بازدهی صید را در زمانی کمتر از زمان کوتني افزایش داد. این امر می تواند با ادغام سنجش از دور و سیستم اطلاعات جغرافیایی تحقق یابد.

**کلیدواژه ها:** شیلات، مناطق مستعد صید، سنجش از دور، MODIS، تحلیل سلسه مراتبی فازی.

\* نویسنده عهده دار مکاتبات: کیانپارس، خیابان ۱۵ غربی، فاز ۲، پلاک ۴۹، واحد ۴، کد پستی: ۰۹۱۶۷۶۸۱۸۶۱، تلفن: ۰۱۵۵۸۷۳۶۷۸

Email: ZahraFazilat@live.com

## ۱- مقدمه

سواحل گجرات پیش‌بینی کردند. آنها براساس واحد CPUE (میزان صید در واحد سطح) میزان پیش‌بینی خود را بهنسبت داده‌های زمینی اعتبارسنجی کردند. این کار در زمینه صید و کاهش زمان جستجو، تا٪۷۰، و نیز افزایش میزان صید کمک فراوانی به افراد فعل در زمینه صید و ماهیگیری کرد. چیتفچی<sup>۱</sup>، در ترکیه، تصاویر دو سنجنده مودیس<sup>۲</sup> و SeaWiFS را به کار برد. وی نخست، با استفاده از داده‌های دمای سطح دریا و کلروفیل-a، داده‌های زمینی را اعتبارسنجی کرد. دقت داده‌های مودیس در این مرحله بالاتر از SeaWiFS است. سپس با روی هم گذاری تصاویر و استفاده از روش فازی، مناطق مطلوب برای گونه آنچوی<sup>۳</sup> در دریای سیاه را تعیین کرد.

هدف از مطالعه تعیین مناطق بالقوه برای آبزیان، به منظور کاهش هزینه‌های صید ماهی و درنتیجه، رسیدن به منابع دریایی با کمترین هزینه، به کمک ادغام سنجش از دور و سیستم اطلاعات جغرافیایی است. با توجه به اثر مستقیم غلظت کلروفیل و دمای سطح دریا در ماهی، از این دو پارامتر در این مطالعه استفاده شد. همچنین نقشه‌های ارتفاع سطح دریا نیز به کار رفت. دقت دمای سطح دریا از سنجنده مودیس Moderate Resolution Imaging Spectroradiometer به نسبت اندازه‌گیری‌های محلی ارزیابی شد.

## ۲- مواد و روش‌ها

### ۲-۱- معرفی منطقه مورد مطالعه

خلیج فارس (شکل ۱) آبراهی است که در امتداد دریای عمان و در میان ایران و شبه‌جزیره عربستان قرار دارد. موقعیت جغرافیایی آن ۲۴ تا ۳۰ درجه و ۳۰ دقیقهً عرض شمالی و ۴۸ تا ۵۶ درجه و ۲۵ دقیقهً طول شرقی از نصف‌النهار گرینویچ است. خلیج فارس با تنگه هرمز به دریای عمان

شیلات از منابع مهم مواد غذایی در ایران به‌شمار می‌رود و اهمیت اقتصادی ماهیگیری ضرورت تحقیق در زمینه منابع دریایی را در سواحل فراهم می‌آورد. براساس گزارش مدیر عامل اتحادیه سراسری شرکت‌های تعاونی صیادی ایران در گذشته، یک حواله شناور و سوخت به همراه هزینه یخ و نیز غذا برای مدت ده روز در مجموع، یک میلیون و سیصد هزار تومان بود که اکنون این هزینه به بیش از دو برابر افزایش یافته است و گاه صیادان از پس این هزینه‌ها برنمی‌آیند (خبرگزاری فارس، ۱۳۹۱).

اطلاعات به دست آمده از ماهواره‌ها نقش مهمی در برنامه‌های کاربردی شیلات ایفا می‌کنند. تکنیک‌های سنجش از دور می‌توانند در تعیین منابع ماهی، مانند دیدن لکه‌های ماهی، به صورت مستقیم از هواپیما به کار روند؛ همچنین، این تکنیک‌ها می‌توانند به طور غیرمستقیم برای پیش‌بینی مکان‌های بالقوه تراکم آبزیان<sup>۱</sup>، از طریق اندازه‌گیری‌های پارامترهای مؤثر در توزیع آبزیان نیز استفاده شوند (Butler et al., 1988). تا کنون، در زمینه کاربرد سنجش از دور و سیستم اطلاعات جغرافیایی در صنعت شیلات، مطالعات بسیاری در دیگر نقاط جهان انجام شده است. گستردگی تصاویر در دسترس در همه مناطق جهان منجر به توسعه چشمگیری در این زمینه بوده است. پالسونلا و همکاران<sup>۲</sup> (۲۰۰۴) در اسپانیا، با استفاده از دو پارامتر دمای سطح آب دریافت شده از AVHRR و غلظت کلروفیل از ماهواره SeaWiFS، آبزیان در آبهای منطقه گالیسیا (اقیانوس اطلس) را مطالعه کردند. آنها در نهایت، با روی هم گذاری لایه‌ها با استفاده از سیستم اطلاعات جغرافیایی و تطبیق داده‌ها با نمونه‌برداری‌های محلی، سیستم پیش‌بینی را برای ماهیگیری در این منطقه راه‌اندازی کردند. سولانکی و همکاران<sup>۳</sup> (۲۰۰۵) در هند، با استفاده از غلظت کلروفیل مشتق شده از سنجنده OCM و دمای سطح دریای مشتق شده از سنجنده AVHRR، مناطق بالقوه صید ماهی را با هدف مشاوره‌دادن به صیادان در

- |  |                      |
|--|----------------------|
| 1. potential fishing zone                                | 2. Palenzuela et al. |
| 3. Solanki et al.  | 4. ÇİFTÇ             |
| 5. MODIS (Moderate Resolution Imaging Spectroradiometer) | 6. Anchovy           |

در حدود ۹۰ گونه از ۲۱۵ گونه ماهی که در خلیج فارس دیده شده‌اند در شرق و جنوب اقیانوس هند نیز دیده می‌شود (کانون پژوهش‌های خلیج فارس، ۱۳۹۱).

## ۲-۲- تصاویر مورد استفاده در پژوهش

مودیس اسکنری نوری است که روی ماهواره‌های ترا و آکوا<sup>۱</sup> قرار دارد. ماهواره ترا در ۱۸ دسامبر ۱۹۹۹ و آکوا در ۴ می ۲۰۰۲ راهاندازی شدند (CiFTC, 2005). در هر دو مأموریت ترا و آکوا، سنجنده مودیس برای تهیه همزمان داده‌های زمین، اقیانوس و فرایندهای جوی استفاده می‌شد. این سنجنده دارای ۳۶ باند با قدرت تفکیک مکانی در محدوده ۲۵۰ متر تا ۱ کیلومتر است (علوی‌پناه، ۱۳۸۵).

برای انجامدادن این پژوهش، نخست به گردآوری و مطالعه منابع علمی و کتابخانه‌ای اقدام شد. سپس با استفاده از تصاویر ماهواره‌ای مودیس (شکل ۲) در دوره یک سال (از تیر ۱۳۹۰ تا خرداد ۱۳۹۱) و داده‌های آماری، میزان صید در سه منطقه بحرکان و خورکان و خور موسی و بوسیف، در محدوده استان خوزستان، لایه‌های رقومی لازم منطقه در محیط نرم‌افزار ArcGIS تهیه شد.

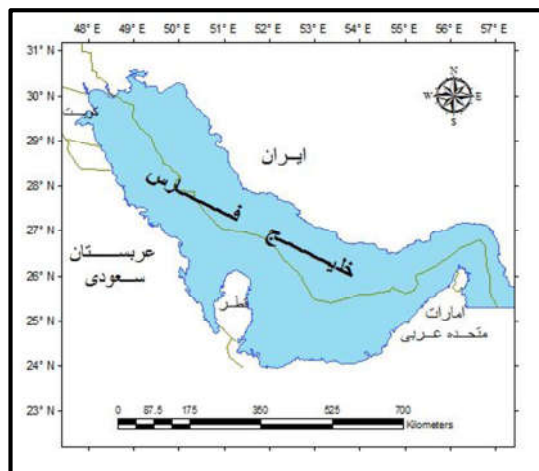


شکل ۲. تصویر ماهواره‌ای خلیج فارس از سنجنده مودیس؛ ۱۳۸۶ آذر ۷

1. Terra and Aqua

و از طریق آن به دریاهای آزاد ارتباط دارد. رودخانه‌های ارون، کارون، جراحی، مند، دالکی و میناب بزرگ‌ترین و پرآب‌ترین رودخانه‌هایی‌اند که به آن می‌ریزند و بیشتر سرچشممه‌های آن‌ها در کوههای زاگرس قرار دارد.

آب‌وهوای خلیج فارس خشک و نیمه‌استوایی است. در تابستان، دما گاهی تا ۵۰ درجه سانتیگراد می‌رسد و میزان تبخیر بیشتر از میزان آب‌های وارد به آن می‌شود. در زمستان، دما تا ۳ درجه سانتیگراد هم گزارش شده است. میزان بارندگی در سواحل جنوبی کمتر از ۵ سانتیمتر در سال و در سواحل شمالی بین ۲۰ تا ۵۰ سانتیمتر در سال است. شوری بیشتر خلیج فارس در مقایسه با اقیانوس موجب پیدایش جریان آبی از اقیانوس هند به این خلیج می‌شود که بموازات ساحل ایران و در جهت پادساعتگرد است (پارساپور، ۱۳۹۱).



شکل ۱. منطقه مورد مطالعه

**اهمیت اقتصادی- شیلاتی خلیج فارس: خلیج فارس** طی سده‌های اخیر، از نظر استراتژیکی و مسائل منطقه‌ای و بین‌المللی، از اهمیت ویژه‌ای برخوردار شده است و بیشترین اهمیت آن به مسائل اقتصادی بازمی‌گردد. اهمیت دیگر آن بهدلیل منابع غنی معدنی و غذایی این منطقه و کشورهای حاشیه است. در این منطقه گونه‌های متنوع ماهی‌های خوارکی و تزئینی فراوان یافت می‌شود. مطابق اسنادی که در دست است،

مورد استفاده ماهیگیران قرار می‌گرد. ماهی‌های سطح زی دریایی مانند زرده، خارو و سارم و بیشگی‌های خاصی برای آب با محدوده دمایی خاص دارند. این مسئله برای محدوده دمایی افقی و عمودی صدق می‌کند اما ماهیگیران ساحلی، زمانی که در جستجوی ماهی‌اند، بیشتر به دمای افقی یا سطحی توجه می‌کنند. دمای سطح آب را می‌توان روی نقشه‌های دمایی نشان داد؛ همچنین می‌توان آن را از نقشه‌های ارتفاع سطح دریا استنباط کرد (Beverly & Choi, 2011).

**رنگ سطح دریا:** نقشه‌های سنجش از دور مربوط به رنگ سطح دریا از سنجنده مودیس به دست می‌آیند. رنگ سطح دریا فراوانی یا نبود کلروفیل-a را آشکار می‌کند که این امر شاخص حضور فیتوپلاتکتون به شمار می‌رود. فیتوپلاتکتون تولیدکننده اولیه اصلی در اقیانوس است. جلبک‌های پلانکتونی مورد استفاده نور خورشید و مواد مغذی، همراه با کلروفیل-a، برای فتوسنترزند (تهیه غذا برای رشد و تولید مثل)، بسیاری از موجودات زنده دیگر در دریا برای رشد و تولید مثل به این رشد مستقیم و غیرمستقیم واپس‌هایند (Ibid.).

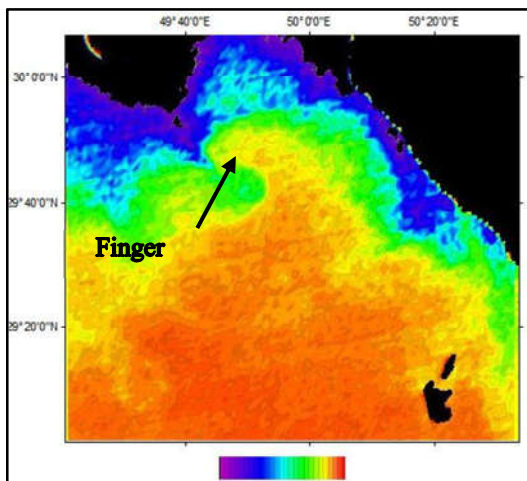
**مناطق قدامی (جبهه‌ها):** دو مورد از بیشگی‌های سطح دریا که ممکن است مورد علاقه ماهیگیران ساحلی باشند و روی نقشه‌های دمای سطح دریا و ارتفاع سطح دریا نشان داده می‌شوند، جبهه‌ها و گرداب‌ها (جریان مخالف) به شمار می‌روند. جبهه، که

تصاویر سطح ۳ مودیس، مربوط به دمای سطح دریا و غلظت کلروفیل، از سایت ناسا و نقشه‌های ارتفاع سطح دریا نیز از سایت سازمان هوافضای امریکا دریافت شد و سپس در محیط نرم‌افزار ArcGIS رقومی گردید. همچنین نقشه‌های شب حرارتی نیز از نقشه دمای سطح دریا به دست آمد.

**شاخص‌های مؤثر در تعیین مناطق مستعد صید**  
در این پژوهش، چهار شاخص و معیار مؤثر در تعیین مناطق مستعد صید آبزیان از منابع گوناگونی گردآوری و استخراج شده‌اند که در ادامه به هریک از آنها اشاره می‌شود (شکل ۳).

**دمای سطح دریا:** دمای سطح دریا دمای آب نزدیک به سطح اقیانوس است. معنای دقیق سطح با توجه به روش اندازه‌گیری استفاده می‌شود، که بین ۱ میلی‌متر تا ۲۰ متر زیر سطح دریاست (Barale et al., 2010). دمای سطح دریا به طور منظم از طریق ماهواره‌ها برای تمامی اقیانوس‌های جهان نظارت می‌شود و نقشه‌های دمای سطح دریایی جهانی برای استفاده به دست اقیانوس‌شناسان و زیست‌شناسان شیلات تولید می‌شود. دمای سطح دریا یکی از پارامترهای محیطی بسیار مهم است که برای مکان‌یابی مناطق ماهیگیری مناسب،

شکل ۳. نمایش دیاگرام شاخص‌ها و معیارهای مورد مطالعه در مکان‌یابی مناطق مستعد صید



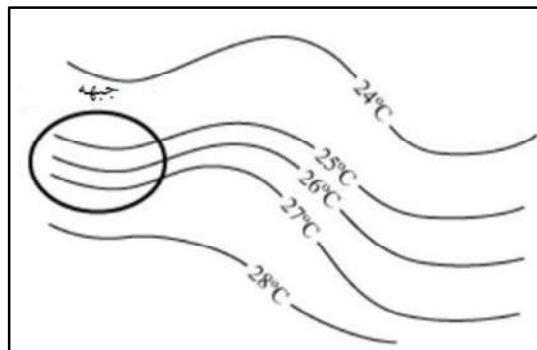
شکل ۵. نقشه دمای سطح دریا (منطقه شمال غرب خلیج فارس) در شکل نشان داده شده که یک فینگر، به صورت جریانی جداگانه، به داخل آبهای سردتر وارد شده است.

( $\pm 30$  سانتی‌متر) جریان یابد؛ این نقطه «بالا»<sup>۴</sup> نامیده می‌شود. گاهی نیز تمايل دارد به سمت ناهنجاری‌های منفی ( $-30$  سانتی‌متر) باشد که به این نقطه «پایین»<sup>۵</sup> می‌گویند. اما آب از یک خط راست و از یک مکان به مکان دیگر جریان ندارد. این تبدیل و الگوی چرخشی «گرداد» نام دارد. گردادها تحت تأثیر نیروی کوریولیس بوجود می‌آینند.

### ۳-۲- ضریب همبستگی

ضریب همبستگی ابزاری آماری برای تعیین نوع و درجه رابطه متغیری کمی با متغیر کمی دیگر است و یکی از معیارهای مورد استفاده در تعیین همبستگی دو متغیر محاسبه می‌شود. ضریب همبستگی شدت رابطه و نیز نوع رابطه (مستقیم یا معکوس) را نشان می‌دهد. این ضریب بین  $1$  تا  $-1$  است و در نبود رابطه بین دو متغیر، برابر با صفر است. همبستگی بین دو متغیر

«شکستگی» نیز نامیده می‌شود، شبیه سریع در دمای سطح آب یا ارتفاع سطح آب است. دمای سطح دریا در نقشه به منزله خط اتصال منطقه با درجه حرارت یکسان (منحنی میزان) نشان داده می‌شود. اگر خطوط هم‌دما روی نقشه دور از هم باشند، آن وقت است که گرادیان حرارتی دارای شیب کم خواهد بود. اگر خطوط هم‌دما با هم بسته شوند، گرادیان حرارتی زیاد یا تیز است که وجود جبهه را نشان می‌دهد (شکل ۴).



شکل ۴. خطوط هم‌دما و جبهه دمایی

نوع خاصی از جبهه‌ها وجود دارد که گسترش آنها به صورت یک انگشت است (شکل ۵). در حقیقت، ماهیگیران این نوع جبهه‌ها را «فینگر»<sup>۶</sup> می‌نامند. برخی اوقات فینگر ممکن است از جبهه اصلی جدا شود و به شکل حباب، با آبهایی با دمای متفاوت، در بر گرفته شود. فینگر می‌تواند مکان خوبی برای ماهی‌ها، بهویژه ماهی‌های سطحی باشد (Ibid.).

**ناهنجاری‌های ارتفاع سطح دریا و گردادها:**  
ناهنجاری‌های ارتفاع سطح دریا مناطقی در اقیانوس‌اند که در آن سطح دریا، مستقل از نوسان‌های جزر و مد طبیعی، بالاتر یا پایین‌تر از سطح موردن انتظار در دریا می‌رود. این تفاوت‌ها موجب گرم‌شدن، سردشدن و چرخش می‌شوند. به نظر می‌رسد اختلاف ارتفاع اندک در سطح دریا ( $\pm 30$  سانتی‌متر) شامل حجم بسیاری از آب است. گاه آب تمايل دارد دور از ناهنجاری‌های مثبت

1. IsoTherm      2. finger  
3. sea surface height anomalies and eddies  
4. high spot      5. low spot

ماتریس مقایسه زوجی به صورت زیر خواهد بود:

$$\tilde{A} = \begin{bmatrix} 1 & \tilde{a}_{12} & \cdots & \tilde{a}_{1n} \\ \tilde{a}_{21} & 1 & \cdots & \tilde{a}_{2n} \\ \vdots & \vdots & \ddots & \vdots \\ \tilde{a}_{n1} & \tilde{a}_{n2} & \cdots & 1 \end{bmatrix} \quad \text{رابطه (۲)}$$

که این ماتریس شامل اعداد فازی زیر است:  
رابطه (۳)

$$\tilde{a}_{ij} = \begin{cases} 1 & i = j \\ \tilde{1}, \tilde{3}, \tilde{5}, \tilde{7}, \tilde{9} \text{ or } \tilde{1}^{-1}, \tilde{3}^{-1}, \tilde{5}^{-1}, \tilde{7}^{-1}, \tilde{9}^{-1} & i \neq j \end{cases}$$

اگر کمیته تصمیم‌گیرنده دارای چندین تصمیم‌گیرنده باشد، درایه‌های ماتریس مقایسه زوجی جامع که در روش تحلیلی سلسله‌مراتبی فازی به کار می‌رود، یک عدد فازی مثلثی است که مؤلفه نخست آن کمترین میزان نظرسنجی‌ها، مؤلفه دوم آن میانگین نظرسنجی‌ها و مؤلفه سوم آن بیشینه نظرسنجی‌هاست. مرحله ۴. محاسبه  $S_i$  برای هریک از سطرهای ماتریس مقایسه زوجی

$S_i$  که خود یک عدد فازی مثلثی است، از رابطه زیر به دست می‌آید:

$$S_i = \sum_{j=1}^m M_{gj}^j \times \left[ \sum_{i=1}^n \sum_{j=1}^m M_{gi}^j \right]^{-1} \quad \text{رابطه (۴)}$$

که در این رابطه،  $i$  بیانگر شماره سطح و  $j$  بیانگر شماره ستون است.  $M_{gj}^j$  در این رابطه، اعداد فازی مثلثی ماتریس‌های مقایسه زوجی است. مقادیر  $\left[ \sum_{i=1}^n \sum_{j=1}^m M_{gi}^j \right]^{-1}$  را می‌توان به ترتیب از روابط زیر محاسبه کرد:

$$\sum_{j=1}^m M_{gj}^j = (\sum_{j=1}^m l_j, \sum_{j=1}^m m_j, \sum_{j=1}^m u_j) \quad \text{رابطه (۵)}$$

$$\sum_{i=1}^n \sum_{j=1}^m M_{gi}^j = (\sum_{i=1}^n l_i, \sum_{i=1}^n m_i, \sum_{i=1}^n u_i) \quad \text{رابطه (۶)}$$

$\left[ \sum_{i=1}^n \sum_{j=1}^m M_{gi}^j \right]^{-1} = \left( \frac{1}{\sum_{i=1}^n u_i}, \frac{1}{\sum_{i=1}^n m_i}, \frac{1}{\sum_{i=1}^n l_i} \right)$  در روابط بالا،  $l_i$  و  $m_i$  و  $u_i$  به ترتیب مؤلفه‌های اول تا سوم اعداد فازی‌اند.

مرحله ۵. محاسبه درجه بزرگی  $S_i$  ها در مقایسه با همدیگر

تصادفی X و Y به صورت زیر تعریف می‌شود (مؤمنی و فعل قیومی، ۱۳۸۹):

رابطه (۱)

$$\text{Corr}(X, Y) = \frac{\text{Cov}(X, Y)}{\sigma_X \sigma_Y} = \frac{E[(X - \mu_X)(Y - \mu_Y)]}{\sigma_X \sigma_Y}$$

که در آن E عملگر امید ریاضی، Cov به معنای کوواریانس، Corr نماد معمول برای همبستگی و  $\sigma$  (سیگما) نماد انحراف معیار است.

#### ۴-۲- روش تحلیل سلسله‌مراتبی فازی (FAHP)

مهم‌ترین دلایل استفاده از روش فازی یا ترکیبی فازی و فرایند تحلیل سلسله‌مراتبی فازی، در مقایسه با تحلیل فرایند سلسله‌مراتبی کلاسیک، آن است که در روش تحلیل فرایند سلسله‌مراتبی کلاسیک، اعتبار مقایسه‌های دوبه‌دوی انجام گرفته با اعداد قطعی بیان می‌شد (Saaty, 1980). البته با توجه به شرایط، همیشه ممکن نیست نظر کارشناسان قطعی و دقیق باشد که این نبود قطعیت را می‌توان با منطق فازی نشان داد Jiang & Eastman, 2000; Bellman & Lotfizadeh, (1970). دقیق‌تر اینکه، در مطالعه حاضر اگر به جای روش FAHP از روش AHP استفاده می‌شد، مقایسه دو شاخص از میان شاخص‌های موجود به یک اندازه بود. درصورتی که همواره این چنین نیست؛ هر شاخص ممکن است، با توجه به شرایط زمانی و مکانی، اهمیتی کمتر یا بیشتر از شاخص دیگر داشته باشد. در حقیقت، آنچه منطق فازی انجام می‌دهد تبدیل دانش بشری در چارچوب روابط ریاضی است.

مراحل روش تحلیل سلسله‌مراتبی فازی به روش چانگ<sup>۱</sup> به شرح زیر است (عطایی، ۱۳۸۹):

مرحله ۱. رسم نمودار سلسله‌مراتبی

مرحله ۲. تعریف اعداد فازی به منظور انجام دادن

مقایسه‌های زوجی

مرحله ۳. تشکیل ماتریس مقایسه زوجی ( $\tilde{A}$ ) با

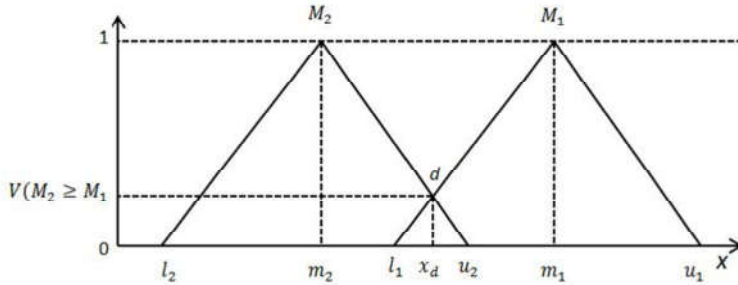
به کارگیری اعداد فازی

1. Chang

برای محاسبه بردار وزن نهایی، باید بردار وزن محاسبه شده در مرحله پیشین را نرمالیزه کرد.  
بنابراین:  
رابطه (۱۲)

$$W = (d(A_1), d(A_2), \dots, d(A_n))^T$$

**۳- بحث و نتایج**  
**۱-۳- اعتبارسنجی تصاویر دمای سطح دریا**  
تصاویر دمای سطح دریای دریافت شده با فرمت تصاویر L2\_LAC\_SST بودند که با استفاده از نرم افزار ENVI4.8، نصب شده روی Oceanscolor به کار رفتند.



شکل ۶. درجه بزرگی دو عدد فازی در مقایسه با یکدیگر

این علت که تصاویر اعوجاج هندسی دارند، با استفاده از نقاط کنترل، تصحیحات هندسی روی تصاویر اعمال شد.  
دادهای مورد استفاده در این پژوهش تصاویر دمای سطح دریا و نمونه برداری های دمای سطح دریا از مناطق شمال خلیج فارس است. این داده ها را «مرکز تحقیقات آبزی پروری جنوب کشور» در پنج مرکز گردآوری کرد. داده های میدانی برای سنجش اعتبار الگوریتم به کار رفته در تصاویر ماهواره ای در منطقه شمال خلیج فارس استفاده شده اند. مختصات نقاط نمونه برداری از دمای سطح دریا که با استفاده از GPS برداشت شده، وارد نرم افزار شد و با قراردادن تصویر روی نقاط مورد نظر، عدد پیکسل مربوط به ایستگاه اندازه گیری به دست آمد.

پارامترهای آماری مانند میانگین، میانه و فاصله از میانه برای هر پنج مرکز محاسبه شدند. ضریب همبستگی برای تعیین میزان همبستگی بین داده های

بسط ورکی اگر  $M_1 = (l_1, m_1, u_1)$  و  $M_2 = (l_2, m_2, u_2)$  دو عدد فازی مثلثی باشند، طبق شکل ۶، درجه بزرگی  $M_1$  به صورت زیر تعریف می شود:

$$\text{رابطه (۸)}$$

$$V(M_2 \geq M_1) = hgt$$

$$(M_1 \cap M_2) = \mu_{M_2}(d) = \begin{cases} 1 & \text{if } m_2 \geq m_1 \\ 0 & \text{if } l_1 \geq u_2 \\ \frac{l_1 - u_2}{(m_2 - u_2) - (m_1 - l_1)} & \text{otherwise} \end{cases}$$

از دیگرسو، میزان بزرگی یک عدد فازی مثلثی از K عدد فازی مثلثی دیگر با رابطه زیر حاصل می شود:

$$\text{رابطه (۹)}$$

$$V(M \geq M_1, M_2, \dots, M_k) = V[(M \geq M_1) \text{ and } (M \geq M_2) \text{ and } \dots \text{ and } (M \geq M_k)] =$$

$$\text{Min } V(M \geq M_i), \quad i = 1, 2, 3, \dots, K$$

**مرحله ۶. محاسبه وزن معیارها و گرینه ها در ماتریس های مقایسه زوجی**

بدین منظور، از رابطه زیر استفاده می شود:

$$\text{رابطه (۱۰)}$$

$$d'(A_i) = \text{Min } V(S_i \geq S_k) \quad k = 1, 2, \dots, n, \quad k \neq i$$

بنابراین، بردار وزن نرمالیزه نشده به صورت زیر خواهد بود:

$$\text{رابطه (۱۱)}$$

$$W' = (d'(A_1), d'(A_2), \dots, d'(A_n))^T \quad A_i (i = 1, 2, \dots, n)$$

**مرحله ۷. محاسبه بردار وزن نهایی**

وارد شد. سپس براساس بهترین شرایط زیستی آبزیان در مرحله صید، تمامی نقشه‌ها و تصاویر فازی شدند (شکل ۷). در این فرایند، داده‌های مورد استفاده برای مکان‌یابی که پیش از فازی‌کردن به صورت گسسته بودند و قطعیت لازم را نداشتند، با استفاده از منطق فازی به داده‌های پیوسته تبدیل شدند. درواقع، منطق فازی راه حلی برای تبدیل کردن داده‌های گسسته به داده‌های پیوسته است. در نقشه‌های حاصل، هر پیکسل ارزشی بین ۰ تا ۱ به صورت اعداد فازی دارد. پس از تبدیل نقشه‌های اولیه به نقشه‌های فازی، لایه‌ها با استفاده از روش جمع وزنی که در روش تحلیل سلسله‌مراتبی فازی محاسبه شده‌اند (جدول ۲)، با هم ترکیب شدند و سرانجام نقشه نهایی به دست آمد.

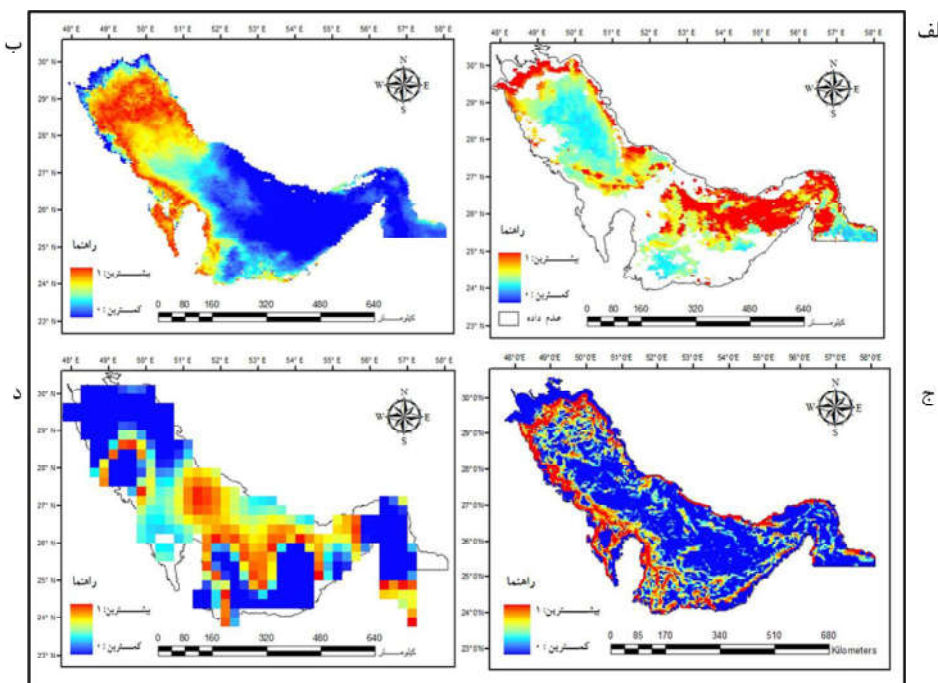
میدانی و تصویر ماهواره‌ای نیز محاسبه شد. ضریب همبستگی حاصل بین داده‌های ماهواره‌ای و اندازه‌گیری‌های سطح دریا ۰/۸۴ است (جدول ۱). این جدول میزان بالای دقت الگوریتم جهانی در این منطقه را نشان می‌دهد. با اطمینان می‌توان از داده‌ها برای موارد گوناگون، همچنین پیش‌بینی‌های لازم در مدیریت سواحل و مناطق بالقوه ماهیگیری استفاده کرد.

### ۲-۳- تعیین مناطق بالقوه صید آبزیان با استفاده از روش تحلیل سلسله‌مراتبی فازی

در این پژوهش، پس از صحبت‌سنگی تصاویر دمای سطح دریا، لایه‌های اطلاعاتی مورد نیاز در محیط نرم‌افزار ArcGIS با پیکسل اندازه ۰/۰۴۱ × ۰/۰۴۱ متر

جدول ۱. پارامترهای آماری دمای سطح دریا، محاسبه شده برای کل منطقه

	تصویر	دریا
میانگین	۲۵/۰۱	۲۳/۸۴
میانه	۲۷	۲۶/۸۷
فاصله از میانه	۶/۶۴	۸/۵۶
ضریب همبستگی		۰/۸۴

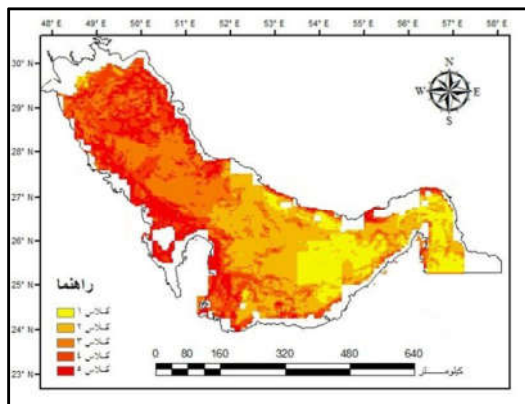


شکل ۷. (الف) تصاویر دمای سطح دریا؛ (ب) غلظت کلروفیل؛ (ج) نقشه‌های ارتفاع سطح دریا؛ (د) شیب حرارتی، براساس توابع عضویت فازی؛ ۱۳۹۰-۱۹ آبان؛ خلیج فارس

## زهرا فضیلتپور و همکاران

جدول ۲. مقایسه زوجی و وزن لایه‌های به دست آمده از روش FAHP

AHP وزن فازی	غلظت کلروفیل	دما سطح دریا	شیب حرارتی	ارتفاع سطح دریا	
۰/۱۲	(۲,۳/۲,۱)	(۳/۲,۱,۱/۲)	(۲,۳/۲,۱)	(۱,۱,۱)	ارتفاع سطح دریا
۰/۲۹۷۵	(۵/۲,۲,۳/۲)	(۳,۵/۲,۲)	(۱,۱,۱)	(۳,۵/۲,۲)	شیب حرارتی
۰/۳۹۷۱	(۳,۵/۲,۲)	(۱,۱,۱)	(۵/۲,۲,۳/۲)	(۷/۲,۳,۲/۵)	دما سطح دریا
۰/۱۵۸۴	(۱,۱,۱)	(۵/۲,۲,۳/۲)	(۲,۳/۲,۱)	(۵/۲,۲,۳/۲)	غلظت کلروفیل



شکل ۸. مناطق مستعد صید؛ آبان ۱۳۹۰

باید تغییر کند) دسته‌بندی شدن، با منطبق کردن نقاط صید در همان تاریخ روی نقشه‌ها و استخراج میزان صید آن‌ها، از ۱۶۵ نقطه صید نزدیک به ۸۰٪ نقاط در کلاس ۳ و ۴ و درواقع بهترین کلاس‌ها قرار گرفته بودند. همچنین میزان صید این نقاط، در این سه کلاس، برابر با ۶۰.۹۵ کیلوگرم بود که حدود ۸۲٪ از کل صید را شامل می‌شود (جدول ۳).

در این زمینه، هر لایه هرقدر وزن نهایی بیشتری داشته باشد، دارای ارزش بیشتری است. به گفته دیگر، هرچه ارزش لایه اطلاعاتی به ۱ نزدیک‌تر باشد، ارزش بیشتری دارد (Malczewski, 1999).

تصاویر پردازش شده دما سطح آب، غلظت کلروفیل، ارتفاع سطح دریا و شیب دما با میزان اهمیت هریک ارزیابی می‌شود. این پژوهش وابسته به دانش و به روش تحلیل سلسه‌مراتبی فازی انجام می‌شود. با این حال، انواع گوناگونی از نتایج را می‌توان با استفاده از توابع متفاوت عضویت و پارامترهای متفاوت تابع عضویت به دست آورد. با ادغام تصاویر دما سطح آب، غلظت کلروفیل، ارتفاع سطح دریا و نقشه شیب دما نقشه نهایی حاصل شد که در شکل ۸ نمایش داده می‌شود.

۳-۳- ارزیابی دقیق نقشه‌های مناطق مستعد صید پس از اینکه نقشه‌های تهیه شده نهایی به پنج کلاس اگر تغییر کرد در جاهای دیگر هم

جدول ۳. نتایج آماری بررسی دقیق نقشه‌های مناطق مستعد صید

ردیف کلاس	محدوده	تعداد نقاط صید	درصد تعداد نقاط صید	میزان صید (کیلوگرم)	درصد میزان صید
۵	۰/۷۸۸-۰/۴۹۵	۴۴	%۲۶/۶۶	۲۰.۴۵	%۲۷/۴۷
۴	۰/۳۳۴-۰/۴۹۵	۴۳	%۲۶/۰۶	۲۳.۹۳	%۳۲/۱۵
۳	۰/۲۰۱-۰/۳۳۴	۴۴	%۲۶/۶۶	۱۶.۵۷	%۲۲/۲۶
۲	۰/۰۸۵-۰/۲۰۱	۱۵	%۹/۰۹	۶.۴۴	%۸/۶
۱	۰-۰/۰۸۵	۱۹	%۱۱/۵۱	۷.۰۴	%۹/۴
جمع کل	-	۱۶۵	%۱۰۰	۷۴.۴۳	%۱۰۰

#### ۴- نتیجه‌گیری

براساس مطالعات انجام شده دمای سطح دریا، کلروفیل-a و نقشه ناهنجاری‌های سطح دریا از مؤثرترین عوامل در تعريف زیستگاه آبزیان بهشمار می‌رond. این پارامترها برای خلیج فارس از تیر ۱۳۹۰ تا خرداد ۱۳۹۱ بررسی شدند. با توجه به مقیاس بزرگ مورد نیاز برای تعیین مکان‌های بالقوه، ادغام سنجش از دور و سیستم اطلاعات جغرافیایی ابزاری مؤثر در برنامه‌های کاربردی شیلات است. افزون بر این، ترکیبی از GIS و سیستم‌های تصمیم‌گیری فازی برای ادغام داده‌های جغرافیایی ضرورت دارد. روش تحلیل سلسه‌های نشان می‌شود.

نتایج ارزیابی دقت نقشه‌های نهایی نشان می‌دهد بیشترین میزان صید در مکان‌هایی است که در کلاس‌های بالایی نقشه‌های به دست آمده قرار گرفته و این به اندازه ۸۲٪ کل صید از داده‌های میدانی است. با صید هدفمند می‌توان، در زمانی کمتر از زمان کنونی، بازدهی صید را بالا برد. این امر می‌تواند با ادغام سنجش از دور و سیستم اطلاعات جغرافیایی تحقق یابد.

نتایج حاصل از این پژوهش که مربوط به مکان‌یابی مناطق مطلوب، به منظور صید در طول سال است می‌تواند دو نوع استفاده داشته باشد؛ یکی در ک رابطه ذخایر ماهی با دمای سطح دریا، غلظت کلروفیل و ناهنجاری‌های سطح دریا و دوم، پیش‌بینی مکان‌های بالقوه صید با هدف کاهش زمان جستجوی آبزیان در دریا. با توجه به این واقعیت که هزینه‌های سوخت و ماندن در دریا بالاست، پیش‌بینی مکان‌های بالقوه صید ماهی بسیار اهمیت دارد. افزون بر این، ناوگان‌های دریایی می‌توانند به این روش و با کاهش هزینه‌های خود، میزان سود خود را افزایش دهند.

#### ۵- منابع

پارساپور، ر.، ۱۳۹۱، جغرافیای دریایی پارس (خلیج فارس)

<http://www.persiangulfstudies.com/fa/index.asp?p=pages&ID=166&Sub=164>.

خبرگزاری فارس، ۱۳۹۱، افزایش ۳۰ درصدی صید ماهی / فقدان امنیت و حمایت مالی، بزرگ‌ترین چالش

<http://www.farsnews.com/newstext.php?nn=13910923000570>

عطایی، م.، ۱۳۸۹، تصمیم‌گیری چندمعیاره فازی، شاهروod، دانشگاه صنعتی شاهrood.

علوی‌پناه، س.ک.، ۱۳۸۵، سنجش از دور حرارتی و کاربردهای آن در علوم زمین، تهران، دانشگاه تهران.

کانون پژوهش‌های خلیج فارس، ۱۳۹۱، اقتصاد خلیج فارس

<http://www.persiangulfstudies.com/fa/index.asp?p=pages&ID=607&Sub=164>

مؤمنی، م.، فعال قیومی، ع.، ۱۳۸۹، تحلیل‌های آماری با استفاده از SPSS، تهران، کتاب‌نو.

Barale, V., Gower, J.F.R. & Alberotanza, L., 2010, **Oceanography from Space, Revisited**, Springer.

Bellman, R.E. & Lotfizadeh, A., 1970, **Decision-Making in a Fuzzy Environment**, Management science, 17(4), PP. 141-164.

Beverly, S. & Choi, Y., 2011, **A Beginner's Guide to Using Remote Sensing for Offshore Tuna Fishing**, Secretariat of the Pacific Community Nearshore Fisheries Development Section, Noumea, New Caledonia. PP. 1-8.

Butler, M.J.A., Mouchot, M.-C., Barale, V. & LeBlanc, C., 1988, **The Application of Remote Sensing Technology to Marine Fisheries: An Introductory Manual**, Food & Agriculture Org, PP. 165.

ÇiFTÇ, N., 2005, **Determination of Potential Favorable Zones for Pelagic Fish Aggregation (Anchovy) in the Black Sea Using RS and GIS**, Middle East Technical University, PP. 5, 10-13.

Jiang, H. & Eastman, J.R., 2000, **Application of Fuzzy Measures in Multi-Criteria Evaluation in GIS**, International Journal of Geographical Information Science, 14(2), PP. 173-184.

Malczewski, J., 1999, **GIS and Multicriteria Decision Analysis**, John Wiley & Sons, P. 13.

Palenzuela, J., Iglesias, G.M. & Vilas, L.G., 2004, **Pelagic Fisheries Study Using GIS and Remote Sensing Imagery in Galicia (Spain)**, ICES CM.

Saaty, T.L., 1980, **Mathematical Models for Decision Support**, Springer, PP. 109-121.

Solanki, H.U., Mankodi, P.C., Nayak, S.R. & Somvanshi, V.S., 2005, **Evaluation of Remote-Sensing-Based Potential Fishing Zones (PFZs) Forecast Methodology**, Continental Shelf Research, 25(18), PP. 2163-2173.